

©1994 г.

## ВЛИЯНИЕ ОБЛУЧЕНИЯ ЭЛЕКТРОНАМИ НА ЭЛЕКТРОФИЗИЧЕСКИЕ СВОЙСТВА СПЛАВОВ $Pb_{1-x}Sn_xTe\langle In \rangle$

*Е.П. Скипетров, А.Н. Некрасов, А.Г. Хорош*

Московский государственный университет им. М.В. Ломоносова, 119899,  
Москва, Россия  
(Получена 3 ноября 1993 г. Принята к печати 7 декабря 1993 г.)

Исследовано влияние облучения быстрыми электронами (энергия электронов  $E = 6$  МэВ, доза облучения  $\Phi \leq 7.7 \cdot 10^{17} \text{ см}^{-2}$ ) при 300 К и последующего гидростатического сжатия до давлений  $P \leq 15$  кбар на электрофизические свойства сплавов  $Pb_{1-x}Sn_xTe\langle In \rangle$  в условиях экранировки внешнего излучения и контролируемой подсветки тепловым источником инфракрасного излучения. Установлено, что облучение электронами практически не влияет на электрофизические свойства сплавов, величину стационарной фотопроводимости и величину барьера  $W$  между локализованными и зонными состояниями в исследованных сплавах. Полученные результаты объясняются на основе модели энергетического спектра, предложенной ранее для нелегированных сплавов  $Pb_{1-x}Sn_xTe$ , облученных электронами, и предполагающей жесткую стабилизацию уровня Ферми в исследованных образцах примесным уровнем индия.

### Введение

Легирование индием приводит к возникновению в энергетическом спектре сплавов  $Pb_{1-x}Sn_xTe$  квазилокального уровня  $E_{In}$ , положение которого относительно краев энергетических зон в точке  $L$  зоны Брилюэна зависит от содержания олова в сплаве, температуры, давления и магнитного поля [1–3]. Примесная полоса индия обладает донорно-акцепторными свойствами и стабилизирует уровень Ферми в образце при легировании другими примесями и введении нестехиометрических дефектов, если их концентрация меньше концентрации индия ( $N_i < N_{In}$ ). С ростом содержания олова в сплавах  $Pb_{1-x}Sn_xTe\langle In \rangle$  квазилокальный уровень индия приближается ко дну зоны проводимости, пересекает дно зоны проводимости и потолок валентной зоны соответственно при  $x \approx 0.21$  и  $x \approx 0.28$  ( $T = 4.2$  К) и движется в глубь валентной зоны. Поэтому в области составов, соответствующих  $0.22 \leq x \leq 0.28$ , стабилизованный уровень Ферми находится в

запрещенной зоне и реализуется диэлектрическое состояние, в котором концентрация носителей заряда близка к собственной.

Другим важным свойством сплавов  $Pb_{1-x}Sn_xTe\langle In \rangle$  является долговременная релаксация неравновесных носителей заряда при низких температурах ( $T < 20$  К). Известно, что при выведении системы электронов из равновесного состояния с помощью ИК подсветки, сильного электрического поля или быстрого изменения магнитного поля процессы перетекания электронов между примесными и зонными состояниями носят долговременный характер [1-3]. При понижении температуры в области ( $T < 20$  К) времена жизни неравновесных носителей заряда экспоненциально увеличиваются и достигают значений  $\sim 10^5$  с. Такой активационный характер процесса захвата электрона дефектом интерпретируется как наличие барьера  $W$  в конфигурационном пространстве, отделяющем локализованные состояния от зонных [4,5]. Таким образом, оказывается, что в сплавах  $Pb_{1-x}Sn_xTe\langle In \rangle$  уровень Ферми жестко стабилизирован примесным уровнем индия, обладающим донорно-акцепторными свойствами. Легирование другими примесями и введение нестехиометрических дефектов не вызывает заметных изменений электрофизических параметров сплавов при концентрациях  $N_i < N_{In}$ . В то же время в работах [6,7] показано, что электронное облучение нелегированных сплавов  $Pb_{1-x}Sn_xTe$ , вызывающее генерацию простейших дефектов в подрешетках металла и халькогена, приводит к существенным изменениям параметров образцов (изменение концентрации электронов и дырок, переход в диэлектрическое состояние) в результате появления в энергетическом спектре сплавов резонансных уровней донорного и акцепторного характера. Можно предположить, что сплавы  $Pb_{1-x}Sn_xTe\langle In \rangle$  должны обладать повышенной радиационной стойкостью и при облучении электронами электрофизические параметры сплавов будут изменяться достаточно слабо.

В настоящей работе исследовано влияние облучения электронами на электрофизические и фотоэлектрические свойства сплавов  $Pb_{1-x}Sn_xTe\langle In \rangle$  ( $x = 0.22, 0.25$ ), находящихся как в металлической, так и в диэлектрической фазах, с целью выяснения вопроса о возможности управления свойствами сплавов с помощью облучения, определения характера воздействия облучения на величину барьера  $W$  между локализованными и зонными состояниями и оценки радиационной стойкости параметров этих сплавов.

## 1. Образцы. Методика измерений

В настоящей работе исследованы монокристаллические образцы сплавов  $Pb_{1-x}Sn_xTe$  ( $x = 0.22, 0.25$ ), легированные индием.<sup>1</sup> Параметры исследованных образцов при  $T = 4.2$  К приведены в таблице.

Исходные образцы облучались быстрыми электронами (энергия электронов  $E = 6$  МэВ, доза облучения  $\Phi \leq 7.7 \cdot 10^{17}$  см<sup>-2</sup>) при 300 К на линейном импульсном ускорителе ЭЛУ-6. У каждого образца до облучения и после нескольких облучений электронами измерялись температурные зависимости удельного сопротивления  $\rho$  и коэффициента

<sup>1</sup> Образцы для измерений предоставлены А.В. Никоричем (НИИ Прикладной физики АН Молдовы, г. Кишинев).

Образец	$x$	$N_{\text{In}}$ , ат%	$n$ , $\text{см}^{-3}$	$\rho$ , $\text{Ом}\cdot\text{см}$	$\mu_H \cdot 10^{-5}$ , $\text{см}^2/\text{В}\cdot\text{с}$	$\Phi_{\max} \cdot 10^{-17}$ , $\text{см}^{-2}$
I-1	0.22	0.005	$1.3 \cdot 10^{17}$	$7.3 \cdot 10^{-5}$	5.5	7.7
I-2	0.22	0.005	$0.9 \cdot 10^{17}$	$3.7 \cdot 10^{-4}$	1.5	2.7
I-11	0.22	0.05	$1.7 \cdot 10^{16}$	$4.7 \cdot 10^{-4}$	6.5	2.7
I-12	0.22	0.05	$2.0 \cdot 10^{16}$	$4.6 \cdot 10^{-4}$	5.7	7.7
434-1	0.22	0.2	$6.9 \cdot 10^{15}$	$1.9 \cdot 10^{-3}$	3.9	0.96
434-3	0.22	0.2	$4.1 \cdot 10^{15}$	$2.2 \cdot 10^{-2}$	0.57	0.96
I-21	0.22	0.2	$< 8 \cdot 10^{14}$	$> 5.0 \cdot 10^1$	-	1.4
I-22	0.22	0.2	$< 8 \cdot 10^{14}$	$> 5.0 \cdot 10^1$	-	1.4
I-25	0.25	0.5	$< 8 \cdot 10^{14}$	$> 4.0 \cdot 10^3$	-	1.0

Холла  $R_H$  в интервале температур  $4.2 \leq T \leq 300 \text{ К}$  и магнитном поле  $B \leq 0.4 \text{ Т}$ , а также осцилляции Шубникова–де–Гааза при  $T = 4.2 \text{ К}$ ,  $B \leq 7 \text{ Т}$ ,  $\mathbf{B} \parallel \langle 100 \rangle$ . При проведении измерений образцы находились в специальной камере из латуни, которая помещалась в вакуумированную тонкостенную трубу из нержавеющей стали, и полностью экранировались от внешнего излучения и излучения деталей криостата. В случае необходимости контролируемая ИК подсветка осуществлялась с помощью теплового источника (угольное сопротивление, через которое пропускался постоянный ток) с температурой  $T^* \leq 50 \text{ К}$ , размещенного в капсуле.

После облучения электронами ( $\Phi = 2.7 \cdot 10^{17} \text{ см}^{-2}$ ) один из образцов, I-11, исследовался также в условиях гидростатического сжатия до давлений  $P \leq 15 \text{ кбар}$  [7].

## 2. Гальваномагнитные явления в сплавах $\text{Pb}_{1-x}\text{Sn}_x\text{Te}(\text{In})$ , облученных электронами

Исходные образцы  $\text{Pb}_{1-x}\text{Sn}_x\text{Te}(\text{In})$  ( $x = 0.22$ ), исследованные в настоящей работе, несколько различались по своим свойствам. По характеру температурных зависимостей удельного сопротивления все образцы можно разделить на две группы. В первую группу входят образцы I-1, I-2, I-11, I-12, 434-1, находящиеся в металлической фазе. Температурные зависимости удельного сопротивления этих образцов имеют «металлический» характер (рис. 1), указывающий на то, что уровень индия  $E_{\text{In}}$  скорее всего расположен на фоне разрешенных состояний вблизи дна зоны проводимости и стабилизирует уровень Ферми. Концентрация электронов в зоне проводимости при  $T = 4.2 \text{ К}$  monotонно уменьшается с ростом концентрации индия в сплаве (таблица).

Вторую группу составляют образцы 434-3, I-21, I-22 с высокими концентрациями индия ( $N_{\text{In}} \approx 0.2 \text{ ат\%}$ ), находящиеся в диэлектрической фазе. На температурных зависимостях удельного сопротивления этих образцов наблюдается активационный участок, свидетельствующий о наличии в запрещенной зоне уровня индия  $E_{\text{In}} \approx E_c - \Delta E_{\text{In}}$  (рис. 1). Энергия активации уровня индия  $\Delta E_{\text{In}}$ , определенная по углу

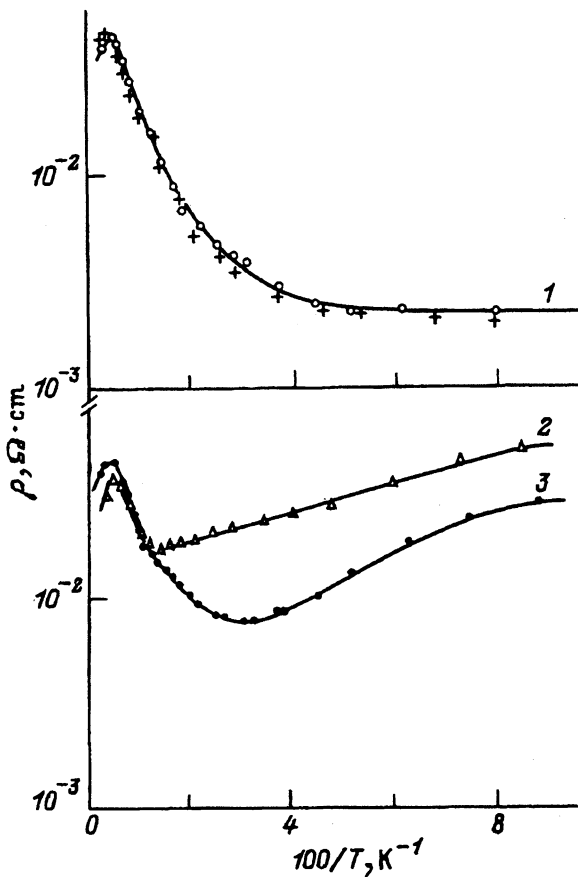


Рис. 1. Температурные зависимости удельного сопротивления образцов  $\text{Pb}_{1-x}\text{Sn}_x\text{Te}(\text{In})$  434-1 (1) и 434-3 (2,3).  
Доза облучения  $\Phi \cdot 10^{-16}$ ,  $\text{см}^{-2}$ : 1 — 2.1, 9.6; 2 — 9.6, 3 — 0.

наклона зависимостей  $\ln \rho(1/T)$ , в исследованных образцах составляет  $1.5 \div 5$  мэВ.

Увеличение энергии активации уровня коррелирует с увеличением удельного сопротивления при низких температурах в исследованных образцах. Поэтому можно считать, что существование остаточных электронов в зоне проводимости при гелиевых температурах связано с тем, что при понижении температуры уровень индия движется вниз по энергии и пересекает дно зоны проводимости. При этом в области температур  $T < 25$  К происходит экспоненциальное увеличение времени жизни неравновесных носителей заряда, связанное с существованием барьера  $W$  между зонными и локализованными состояниями. В этих условиях при охлаждении образца свободные электроны не успевают перейти на локальный уровень и происходит «замораживание» электронов в зоне проводимости. При прочих равных условиях (одна и та же величина барьера  $W$ , одинаковые условия охлаждения образца) концентрация замороженных электронов определяется, очевидно, положением уровня индия относительно дна зоны проводимости при

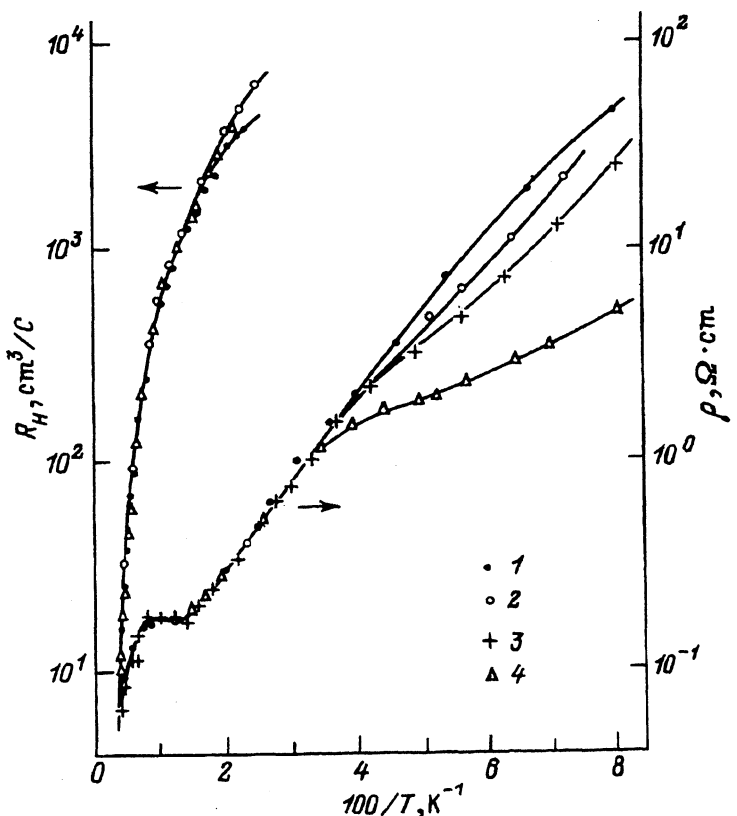


Рис. 2. Температурные зависимости удельного сопротивления и коэффициента Холла образца I-22.

Доза облучения  $\Phi \cdot 10^{-17}$ , см $^{-2}$ : 1 — 0, 2 — 0.2, 3 — 1.0, 4 — 1.4.

$T \approx 25$  К и монотонно уменьшается с ростом концентрации индия в сплаве. Вообще говоря, не исключено, что в металлических образцах (I-1, I-2, I-11, I-12, 434-1) при гелиевых температурах уровень индия также расположен в запрещенной зоне и не стабилизирует уровень Ферми, а существование электронов в зоне проводимости связано с эффектом замораживания электронов при понижении температуры.

Таким образом, в образцах  $Pb_{1-x}Sn_xTe(In)$  ( $x = 0.22$ ) наблюдается вполне определенная закономерность — уменьшение концентрации электронов в зоне проводимости и увеличение энергии активации уровня индия при увеличении концентрации индия, свидетельствующая о смещении уровня ко дну зоны проводимости и в запрещенную зону сплава. Подобное изменение положения уровня индия при увеличении концентрации индия, но в области более высоких концентраций индия ( $N_{In} \geq 1$  ат%), наблюдалось ранее в работах [8, 9].

Под действием облучения характер зависимостей  $\rho(T)$ ,  $R_H(T)$  в исследованных образцах  $Pb_{1-x}Sn_xTe(In)$  практически не меняется (рис. 1, 2). В металлических образцах электрофизические параметры и период осцилляций Шубникова-де-Гааза при  $T = 4.2$  К в пределах экс-

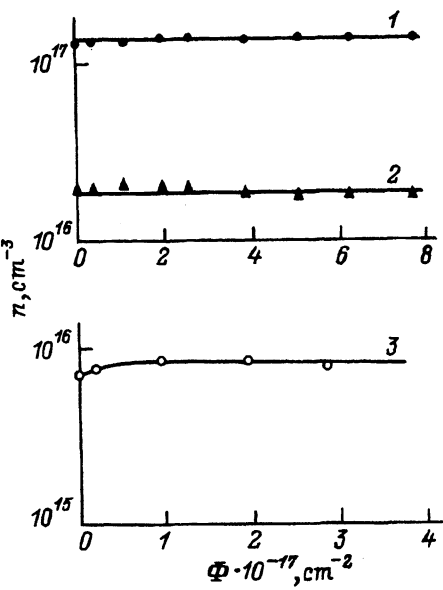


Рис. 3. Зависимости концентрации электронов при  $T = 4.2\text{ K}$  от дозы облучения в разных образцах  $\text{Pb}_{1-x}\text{Sn}_x\text{Te}(\text{In})$ : 1 — I-12, 2 — I-1, 3 — 434-1.

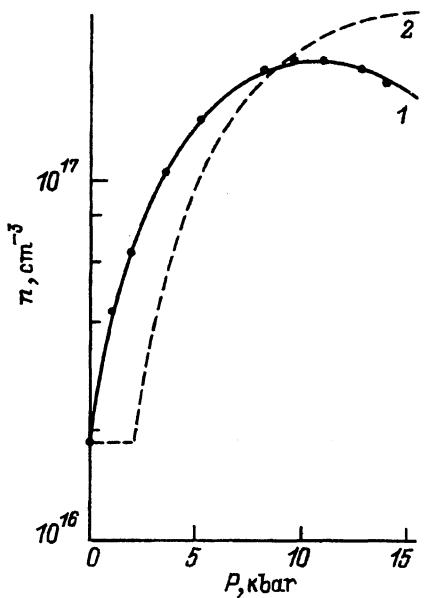


Рис. 4. Зависимости концентрации электронов при  $T = 4.2\text{ K}$  от давления. Точки — эксперимент на образце I-11, облученном электронами при  $\Phi = 2.7 \cdot 10^{17} \text{ см}^{-2}$ . Линии — расчет с параметрами: 1 —  $E_{\text{In}} = E_c + 4.4 \text{ мэВ}$ ,  $dE_{\text{In}}/dP = 0.7 \text{ мэВ/кбар}$ ; 2 —  $E_{\text{In}} = E_c - 4.0 \text{ мэВ}$ ,  $dE_{\text{In}}/dP = 1.7 \text{ мэВ/кбар}$ .

периметрических ошибок остаются постоянными, поэтому можно считать, что концентрация электронов  $n$  практически не зависит от дозы облучения (рис. 3). Медленное увеличение концентрации электронов при  $T = 4.2\text{ K}$ , со скоростью примерно на 2 порядка меньшей, чем в нелегированных образцах  $n\text{-Pb}_{1-x}\text{Sn}_x\text{Te}$  [10], наблюдается лишь в образце 434-1 с минимальной исходной концентрацией электронов.

Для определения положения уровня индия в металлических образцах  $\text{Pb}_{1-x}\text{Sn}_x\text{Te}(\text{In})$ , а также для выяснения вопроса о влиянии электронного облучения на энергетический спектр сплавов исследовано влияние давления на электрофизические свойства облученного образца I-11. Установлено, что электрофизические параметры облученного образца (удельное сопротивление и коэффициент Холла, период осцилляций Шубникова–де–Гааза) изменяются таким же образом, как и в необлученных образцах  $\text{Pb}_{1-x}\text{Sn}_x\text{Te}(\text{In})$  [9].

На рис. 4 приведена зависимость концентрации электронов в образце I-11 ( $\Phi = 2.7 \cdot 10^{17} \text{ см}^{-2}$ ) от давления, построенная по результатам измерения коэффициента Холла и осцилляций Шубникова–де–Гааза при  $T = 4.2\text{ K}$ . Как и в необлученных образцах, зависимость имеет вид колоколообразной кривой с максимумом при давлении  $P \approx 10 \text{ кбар}$ , соответствующем переходу сплава в бесщелевое состояние. Теоретические зависимости  $n(P)$ , показанные на рис. 4 линиями 1 и 2, построены в рамках двухзонной модели Кейна с параметрами, приве-

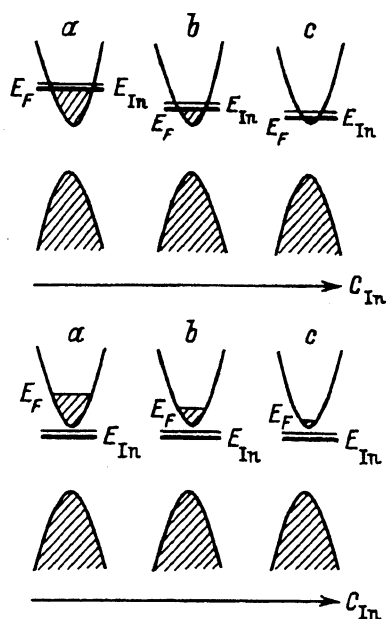


Рис. 5. Возможные зонные диаграммы «металлических» образцов  $Pb_{1-x}Sn_xTe(In)$  при повышении содержания In ( $C_{In}$ ) в сплаве:

вверху — смещение уровня  $E_{In}$ , стабилизирующего уровень Ферми, внизу — уменьшение концентрации «замороженных» электронов.

денными в работе [9]. При построении этих зависимостей рассматривались две альтернативные возможности расположения уровня индия (рис. 5) и предполагалось в одном случае (кривая 1), что уровень Ферми в исходных образцах расположен чуть выше дна зоны проводимости ( $E_{In} = E_c + 4.4$  мэВ), а в другом (кривая 2) — чуть ниже дна зоны проводимости ( $E_{In} = E_c - 4.0$  мэВ). Расчеты показали, что удовлетворительное согласие теории и эксперимента может быть достигнуто только в случае, если уровень индия в исследованном сплаве находится в зоне проводимости и стабилизирует уровень Ферми в облученном образце в условиях гидростатического сжатия.

Таким образом, исследование облученного образца I-11 под давлением указывает на отсутствие каких-либо аномалий по сравнению с необлученными образцами и позволяет считать, что в металлических образцах уровень Ферми действительно стабилизирован уровнем индия, расположенным в зоне проводимости сплава.

В «диэлектрических» образцах во всем исследованном диапазоне доз облучения температурные зависимости удельного сопротивления и коэффициента Холла с точностью до ошибок измерения совпадают в диапазоне температур от 300 К до  $T'$  (величина  $T'$  зависит от конкретных параметров образца и для исследованных образцов составляет  $20 \div 50$  К). При этом наклон активационных участков на зависимостях  $\rho(1/T)$  остается одинаковым для всех доз облучения. Заметные изменения удельного сопротивления с ростом дозы облучения происходят

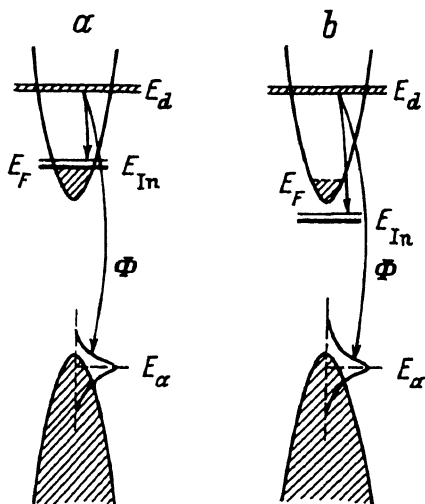


Рис. 6. Энергетические диаграммы сплавов  $Pb_{1-x}Sn_xTe(In)$ , облученных электронами, в металлической (a) и диэлектрической (b) фазах.

только в области температур  $T < T'$ , где кривые  $\rho(1/T)$  расходятся (рис. 1, 2).

Полученные результаты удовлетворительно согласуются с моделью энергетического спектра  $Pb_{1-x}Sn_xTe\langle In \rangle$  ( $x = 0.2$ ), предложенной в [6,7] и предполагающей возникновение при облучении резонансного уровня донорного типа в зоне проводимости и резонансной зоны акцепторного типа вблизи потолка валентной зоны сплава. В этом случае генерация дефектов донорного типа приводит к перетеканию электронов с уровня  $E_d$ , расположенного выше уровня Ферми в исследованных образцах, в резонансную зону акцепторного типа и в зону проводимости. В нелегированных сплавах  $n\text{-}Pb_{1-x}Sn_xTe\langle In \rangle$  ( $x = 0.2$ ) это должно приводить к увеличению концентрации электронов со скоростью  $dN/d\Phi = d(N_d - N_a)/d\Phi$ .

Высокая радиационная стойкость электрофизических параметров образцов, легированных индием, как в металлической, так и в диэлектрической фазах связана, видимо, с тем, что в сплавах  $Pb_{1-x}Sn_xTe\langle In \rangle$  уровень Ферми стабилизирован емким квазилокальным уровнем индия, который содержит большое число заполненных и свободных состояний,  $N \sim 10^{20} \text{ см}^{-3}$ . Поэтому электроны, переходящие с резонансного донорного уровня при облучении электронами, могут занимать состояния на уровне индия (рис. 6), и концентрация электронов в образцах должна оставаться постоянной вплоть до его полного заполнения. С этой точки зрения медленное увеличение концентрации электронов в образце 434-1 может быть связано с некоторым уширением уровня индия ( $\delta E_{In} \sim 1 \text{ мэВ}$ ) и движением уровня Ферми вверх в зоне проводимости по мере заполнения состояний в примесной полосе индия при облучении. Оценки, проведенные в рамках закона дисперсии Кейна [9], показали, что изменение положения уровня Ферми в этом образце при облучении не превосходит 0.3 мэВ, что удовлетворительно согласуется с предполагаемой шириной уровня индия в сплавах  $Pb_{1-x}Sn_xTe\langle In \rangle$  [1].

Изменения электрофизических параметров диэлектрических образцов при  $T < T'$  свидетельствуют, очевидно, об изменении концентрации замороженных электронов в зоне проводимости. Подобное поведение  $\rho$  в области низких температур наблюдалось ранее при изменении концентрации индия и связывалось с возникновением деформационной корреляции соседних примесных центров индия при увеличении концентрации индия [11,12]. При такой корреляции перестройка одного из примесных центров вызывает перестройку соседних, что проявляется в уменьшении времени жизни неравновесных электронов и в уменьшении концентрации замороженных электронов в зоне проводимости. Поэтому можно предположить, что облучение электронами вызывает изменение «жесткости» кристаллической решетки и изменение степени деформационной корреляции примесных центров. Кроме того, известно, что облучение электронами приводит к некоторому повышению однородности образцов (увеличение подвижности носителей заряда в нелегированных образцах при облучении) [6]. Поэтому возможно также, что электронное облучение, генерируя дополнительные точечные дефекты однородно по объему образца, способствуют более равномерному распределению примесных центров и выравниванию высоты барьеров  $W$  в объеме кристалла.

### 3. Фотопроводимость в сплавах $Pb_{1-x}Sn_xTe\langle In \rangle$ , облученных электронами

Представляло интерес выяснить характер воздействия облучения электронами на параметры, определяющие возможности практического применения сплавов  $Pb_{1-x}Sn_xTe\langle In \rangle$  в качестве фотоприемников ИК диапазона: концентрацию носителей заряда и проводимость в условиях экранировки внешнего излучения и контролируемой ИК подсветки, величину барьера  $W$  и время жизни неравновесных носителей заряда. Опираясь на известные в настоящее время данные по влиянию нестехиометрических дефектов на свойства сплавов, можно предположить, что в сплавах  $Pb_{1-x}Sn_xTe\langle In \rangle$  должна наблюдаться повышенная радиационная стойкость не только электрофизических, но и рекомбинационных параметров. Для определения характера воздействия электронного облучения на рекомбинационные характеристики сплавов  $Pb_{1-x}Sn_xTe\langle In \rangle$  исследованы температурные зависимости удельного сопротивления диэлектрических образцов I-21, I-22, I-25 в условиях экранировки внешнего излучения и контролируемой подсветки тепловым источником ИК излучения.

Установлено, что в отсутствие подсветки температурные зависимости удельного сопротивления образцов при всех дозах облучения имеют два активационных участка (рис. 2, 7). Высокотемпературный участок (в области комнатных температур) соответствует собственной ионизации. Низкотемпературный активационный участок ( $T < 40$  К) обусловлен, очевидно, ионизацией примесного уровня индия, который

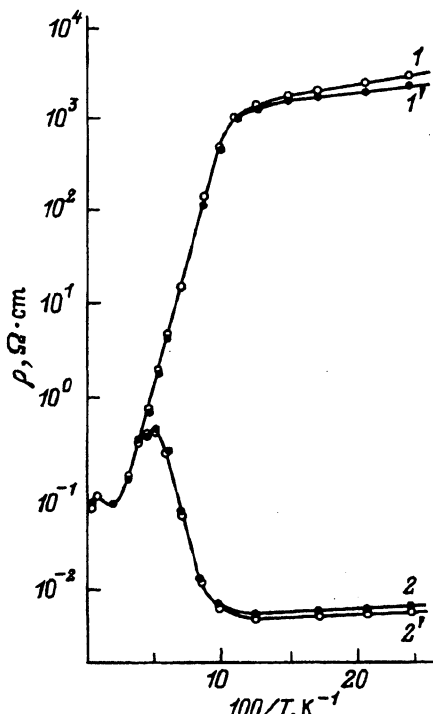


Рис. 7. Температурные зависимости удельного сопротивления образца I-25 в условиях экранировки внешнего излучения и контролируемой ИК подсветки.

Доза облучения  $\Phi \cdot 10^{-17}$ , см<sup>-2</sup>: 1, 2 — 0;  
1', 2' — 1. Температура источника излучения  
 $T^*$ , К: 1, 1' — 4.2; 2, 2' — ≈ 30.

в сплаве с  $x = 0.25$  располагается чуть выше середины запрещенной зоны [1-3]. Контролируемая подсветка образца от теплового источника с температурой  $T^* \approx 30$  К приводит к качественным изменениям зависимостей  $\rho(1/T)$  (рис. 7). Величина удельного сопротивления в области гелиевых температур уменьшается более чем на 5 порядков, а зависимость  $\rho(1/T)$  в области низких температур приобретает «металлический» характер.

При облучении электронами характер зависимостей  $\rho(1/T)$  как в условиях экранировки образцов, так и в условиях ИК подсветки, в основном не меняется. Практически постоянным остаются характерные величины, определяющие возможности применения сплавов  $Pb_{1-x}Sn_xTe(In)$  в качестве фотоприемников ИК диапазона (температура появления задержанной фотопроводимости). Поэтому можно считать, что величина барьера  $W$  между локализованными и зонными состояниями, а также время релаксации фотопроводимости не зависят от дозы облучения. Некоторое уменьшение фоточувствительности в области гелиевых температур может быть связано с незначительными изменениями параметров примесных центров и проявлением деформационной корреляции соседних примесных центров при генерации дополнительных точечных дефектов в образцах.

## Заключение

Установлено, что при облучении электронами электрофизические свойства сплавов  $Pb_{1-x}Sn_xTe(In)$ , находящихся как в металлической, так и в диэлектрической фазах, практически не зависят от потока облучения. Экспериментальные результаты не противоречат модели энергетического спектра облученных электронами нелегированных сплавов  $Pb_{1-x}Sn_xTe$  и объясняются существованием в энергетическом спектре сплавов  $Pb_{1-x}Sn_xTe(In)$  емкого квазилокального уровня индия, жестко стабилизирующего уровень Ферми в исследованных образцах. Показано, что в сплавах  $Pb_{1-x}Sn_xTe(In)$ , находящихся в диэлектрической фазе, облучение электронами практически не влияет на величину стационарной фотопроводимости в области низких температур ( $T < 25$  К) и величину барьера  $W$  между локализованными и зонными состояниями. Медленное изменение электрофизических параметров и фоточувствительности при облучении свидетельствует об изменении концентрации замороженных электронов в зоне проводимости при  $T < 25$  К и скорее всего связано с изменением степени деформационной корреляции соседних примесных центров индия при генерации дополнительных точечных дефектов в образцах.

Полученные результаты свидетельствуют о высокой радиационной стойкости электрофизических и рекомбинационных параметров сплавов  $Pb_{1-x}Sn_xTe(In)$  и позволяют использовать их в качестве материала для изготовления радиационно-стойких фотоприемников ИК диапазона.

## Список литературы

- [1] В.И. Кайданов, Ю.И. Равич. УФН, **145**, 51 (1985).
- [2] Б.А. Акимов, В.П. Зломанов, Л.И. Рябова, Д.Р. Хохлов. Высокочистые вещества, вып. 6, 22 (1991).
- [3] В.А. Akimov, A.V. Dmitriev, D.R. Khokhlov, L.I. Ryabova. Phys. St. Sol. (a), **137**, 9 (1993).
- [4] Б.А. Волков, О.А. Панкратов. ДАН СССР, **255**, 93 (1980).
- [5] Б.А. Волков, В.В. Осипов, О.А. Панкратов. ФТП, **14**, 1387 (1980).
- [6] Н.Б. Брандт, Е.П. Скипетров, Е.И. Слынько, А.Г. Хорош, В.И. Штанов. ФТП, **24**, 51 (1990).
- [7] Н.Б. Брандт, Е.П. Скипетров, А.Г. Хорош. ФТП, **26**, 888 (1992).
- [8] Б.М. Вул, С.П. Гришечкина, Т.Ш. Рагимова. ФТП, **16**, 1452 (1982).
- [9] Б.А. Акимов. Автореф. дис. докт. физ.-мат. наук. М. (1985).
- [10] А.Н. Некрасова, Е.П. Скипетров. Матер. VIII Всес. симп. по полупроводникам с узкой запрещенной зоной и полуметаллам. Ч. 1, 121. Львов (1991).
- [11] Б.А. Акимов, Н.Б. Брандт, А.В. Никорич, Л.И. Рябова, В.В. Соковишин. Письма ЖЭТФ, **39**, 222 (1984).
- [12] Б.А. Акимов, А.В. Албул, А.В. Никорич, Л.И. Рябова, Д.Р. Хохлов. ФТП, **18**, 1778 (1984).

Редактор Л.В. Шаронова

---